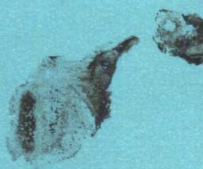


# 中国地球物理学会 一九六三年学术会议论文集

中国地球物理学会編輯



(内部資料·注意保存)

38A

科学出版社

# 中国地球物理学会 一九六三年学术会议论文集

中国地球物理学会編輯

(内部資料·注意保存)

科学出版社

1965

## 內容簡介

本文集系中国地球物理学会 1963 年学术會議文集，共分为二部分，第一部分为論文 23 篇，第二部分为論文摘要 71 篇。

在文集中，空間物理方面全部是論文摘要，共 20 篇，包括电离层、宇宙線、磁暴、外层空間和日地关系等方面問題的研究。

固体地球物理方面，論文 5 篇，摘要 11 篇，主要包括地壳构造、面波特征、地震强度的研究和地震仪試驗、試制总结等內容。此外，还探討了古地磁和重力場問題。

燃料地球物理勘探方面，論文 11 篇，摘要 25 篇，主要包括地震勘探法，井下地球物理探测，石油、煤田、水文工程地质綜合勘探以及有关仪器的試驗研究等方面問題。

綜合地球物理勘探方面，論文 7 篇，摘要 15 篇，主要包括磁法、重力和綜合勘探等方面的新方法和仪器試驗等方面內容。

本文集反映了近几年来，我国地球物理工作者結合我国經濟建設任务和理論研究所取得的成就，基本上反映了我国地球物理学科的現状与水平。

本文集可供空間物理、固体地球物理研究工作者，地质、石油、煤炭和冶金部門地球物理勘探研究工作者和业务工作者参考，同时亦可供上述各学科有关高等院校教師参考。

## 中国地球物理学会 一九六三年学术会议论文集

中国地球物理学会編輯

\*

科学出版社出版

北京朝阳門內大街 117 号

北京市书刊出版业营业許可證出字第 061 号

上海新华印刷厂印刷

科学出版社发行

\*

1965 年 5 月 第一版

开本：787×1092 1/16

1965 年 5 月第一次印刷

印張：18 1/4

印数：0001—1,600

字数：375,000

统一书号：13031·2097

本社书号：3204·13—15

定价：[科七] 2.60 元

## 編 者 說 明

中国地球物理学会 1963 年学术會議自 1963 年 9 月 16 日至 21 日在北京举行。出席會議的有来自全国各地的地球物理工作者代表八十人，以及列席和来宾共三百余人。会上宣讀和討論了論文和学术报告共 124 篇。

为了反映这次学术會議的成果，扩大經驗交流的范围，达到相互促进，共同提高的目的，我們将在会上宣讀的論文又作了进一步审查，从中選擇了 23 篇論文全文发表，71 篇論文以摘要形式发表。而对于会上宣讀的論文或报告已在地球物理学报或其它学术刊物上发表的(至 1964 年 12 月为止)，則未編入本文集中，仅在附录中列出了論文題目、作者和发表刊物名称，以便于查閱。此外，在附录中还列入了一部分在会上宣讀的綜合性报告的題目。

本文集的內容是按空間物理、固体地球物理、燃料地球物理勘探和綜合地球物理勘探的次序排列的。

本文集的汇編工作是在作者、审者和有关单位的领导大力支持下完成的，特此致謝。

# 目 录

## 論 文 部 分

用震源机制資料討論中國境內的現代构造运动.....	郭增建等 ( 3 )	
兰州台觀測到的短周期面波的特性.....	張 誠 ( 14 )	
在不同地震力的作用下对初动振幅的初步研究.....	王振声 ( 27 )	
近几年来我國仿制和改进的几种地震觀測仪器.....	王耀文等 ( 34 )	
62 型垂直向地震仪改装試驗 .....	琴朝智等 ( 40 )	
*	*	*
人工電位法探测煤层煤质的可能性.....	儲紹良等 ( 47 )	
煤田測井中几种特征明显的定厚方法.....	曾明月 ( 61 )	
油、气田上微量元素負異常的探討 .....	劉鴻祥等 ( 71 )	
对大地电流勘探法中椭圓法的改进——兼論大地电流觀測資料整理的新方向.....	雷海如 ( 79 )	
折射波对比法中的平均速度問題.....	馬恩澤 ( 92 )	
低速帶解釋計算方法.....	李慶忠 ( 103 )	
聯合組合法理論.....	黃洪澤 ( 116 )	
組合系統的等效变换原理.....	黃洪澤 ( 124 )	
利用地震反射法研究小断层.....	蘭師仁 ( 132 )	
利用地震反射法研究岩性变化的嘗試.....	張源泉等 ( 140 )	
地震勘探对煤田地质的調查与研究.....	劉光鼎等 ( 149 )	
*	*	*
斜磁化板狀体产狀单元的計算方法.....	侯重初 ( 158 )	
确定水平圆柱体磁化傾角的簡易方法.....	侯重初 ( 164 )	
近似积分在磁法数据推断中的应用.....	熊光楚等 ( 175 )	
用磁秤法測标本时几个計算标本磁化强度的公式.....	熊光楚等 ( 185 )	
某矽卡岩型含銅磁鐵矿床磁測資料的地质解釋.....	吳功建等 ( 193 )	
根据磁异常曲線及磁变計算板狀磁性体的产狀傾角及磁性参数的可能性.....	侯重初 ( 202 )	
井田地形校正法在高精度重磁測量中的应用.....	魏壽麟 ( 211 )	

## 論 文 摘 要 部 分

磁暴期間外輻射帶內粒子結構的变化.....	劉振兴 ( 225 )
外輻射帶內粒子侵入极地上层大气的物理机制及能通量随高度和緯度的分布.....	陳耀武等 ( 226 )
流磁波在电离层中的傳播.....	肖 佐等 ( 227 )
耀斑日面位置和磁扰的关系.....	方 成等 ( 227 )
地球磁暴与太阳耀斑的关系.....	陸渝蓉等 ( 228 )
南极 PC 脈動的一些規律.....	鄒秀榮等 ( 229 )

地磁脉动研究的发展动向.....	周寿铭等 (230)
1960 年 11 月事件对平流层环流的影响.....	楊鑑初等 (231)
珠穆朗瑪峰附近地区(海拔 5120 米)大气臭氧的总量观测与分析.....	文傳甲等 (231)
对卫星推測地球重力場若干成果的分析.....	朱崗崑等 (231)
黃道光的偏振.....	陈 彪 (232)
电离层垂直反射的二次回波的統計特性.....	李 鈞 (233)
电离层二次回波振幅的分布.....	龙咸灵 (233)
武昌地区电离层暴的初步研究.....	叶宗秀等 (234)
电离层不規則变化研究的綜合調查.....	蔣龍海等 (235)
光波一电磁波作用在带电粒子上的斥力与地球高层大气能源理論.....	魏鼎文 (236)
建立地磁台的几个問題.....	陈志强等 (237)
我国各地磁台 QHM 比測.....	孙仿友 (237)
北京、落雪二地宇宙綫强度气压系数的初步分析 .....	蔣孟閔等 (238)
$\mu$ 介子望远鏡上所用 G-M 計數管的制作及主要性能.....	沈思忠等 (239)

\* \* \*

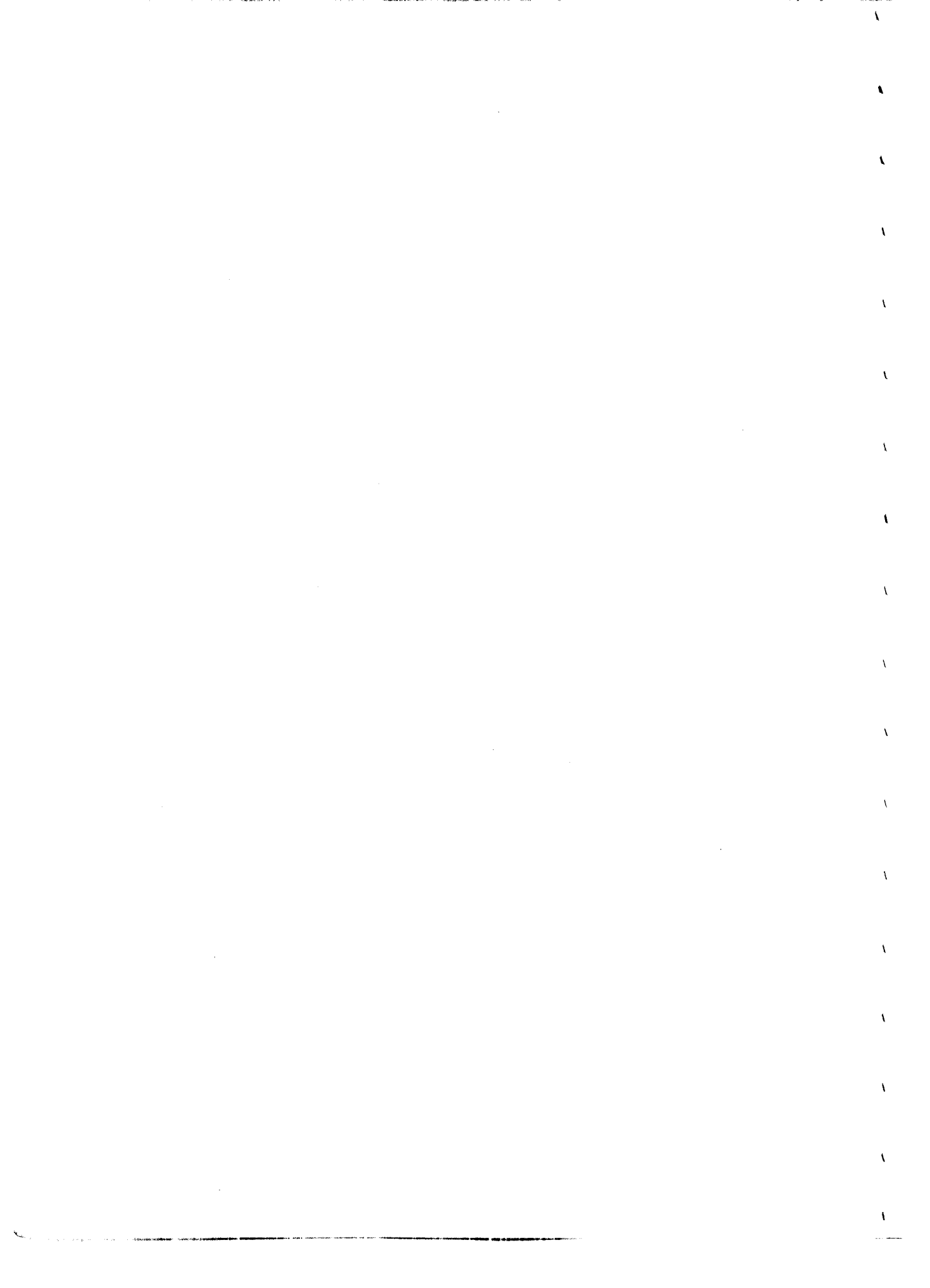
中国东部地区地幔构造的初步研究.....	梅世蓉等 (240)
PL 波的特性 .....	梅世蓉等 (241)
中国东部沿海地区的面波特征及地壳构造的初步研究.....	梅世蓉等 (241)
已知地壳参数求震源深度的一种方法.....	曾融生等 (242)
用地震面波波散曲綫确定我国大陆及沿海陆棚的地壳厚度.....	宋仲和等 (243)
論用 PKP 波测定极远地震的震級 .....	郭履灿等 (244)
某地区地震强度問題的初步研究.....	閔子群等 (245)
論 20 秒面波震級 .....	刘正荣 (246)
地球膨脹假說的古地磁証據.....	俞有遂等 (246)
第三紀时期地磁場反轉的古地磁証據.....	李华梅等 (247)
我国重力异常的特征与地壳厚度的計算.....	唐伯雄等 (248)

\* \* \*

微电极图板及测井工作的研究.....	王曰才等 (249)
試論人工电位研究方法中的若干問題——关于由技术原因引入的誤差及其校正方案的初步探索.....	池仙送 (250)
关于动力测定岩石彈性模量的精度問題.....	杜希哲 (251)
电测井法求地层儲集特性的綜合图板.....	朱德怀 (251)
关于用自然电位求岩层孔隙度的几个問題.....	赵 敏 (252)
放射性测井仪积分电路对测井曲綫的影响.....	赵 敏 (253)
气测井資料的定量解釋.....	朱德怀 (254)
感应测井綫圈系設計方法.....	焦守諳等 (255)
关于横向测井問題.....	王曰才等 (256)
地震勘探組合法研究.....	馬恩澤 (257)
反滤波器在地震勘探上的应用.....	李庆忠 (258)
波的对比.....	呂志良 (259)
地震勘探方法在一个平原煤田中应用效果的探討.....	靳立华 (260)
煤田地震勘探中波速相差微小时的折射解釋方法的研究.....	郭菊芳 (262)
一个地震勘探区域中的干扰波及消除干扰的措施.....	傅才芳 (262)

褶积算子在地震滤波中的作用.....	牛毓荃 (264)
自动振幅控制器的工作特性.....	許声揚等 (265)
中間磁帶記錄地震儀的試制和試驗.....	賴正朝 (266)
一种地震放大器滤波器的设计.....	赵久长等 (266)
100 千伏小功率直流高压电源 .....	楊煥成 (268)
从典型試驗中得到的几点有关形成油田上放射性负异常机制的看法.....	呂春宇等 (268)
整理大地电流觀測資料的解析法.....	雷海如 (269)
应用反射系数 $K$ 解电法勘探的反問題 .....	孙經榮 (270)
統計通訊理論在重力測量資料解釋中的某些应用.....	杜世通 (272)
向下半空間进行重力場的解析延拓之統計分析.....	杜世通 (272)
* * *	
論重力垂向二次导数的換算及应用.....	曾佩韦 (273)
燕山地区重力剖面的地質解釋.....	朱文泉等 (274)
非綫性零点变化时重力仪讀数的校正.....	魏寿麟 (274)
重力測量和扭秤測量的比較.....	焦榮昌 (275)
山区重力測量工作中地形校正方法的探討.....	林振民等 (276)
鉻矿床上扭秤局部异常的解釋.....	黃承熊 (276)
航空磁測在区域地質測量中的应用.....	卓松年 (277)
評 A. A. 罗加切夫的虛磁荷概念及其在磁場解析延拓中的应用 .....	王繼倫 (278)
无定向磁力仪(WCW1-63 型).....	丁鴻佳 (278)
电子磁化率仪.....	刘显跃 (279)
輕便型核子旋进式磁力仪.....	費震宇 (280)
航空电法勘探仪器中相敏檢波器的試制.....	刘維国等 (281)
利用放射性同位素鉻 <sup>60</sup> 測定土壤密度 .....	顧靖城 (281)
某含鉛黃鐵矿体的直流电法异常的分析.....	趙明昌等 (281)
热液型赤褐铁矿带的物探和化探工作.....	曹显光 (282)
* * *	
附录.....	(283)

# 論 文 部 分



# 固 体 地 球 物 理

---

## 用震源机制資料討論中国境內的現代构造运动

郭 增 建 姜 秀 娥

(中国科学院兰州地球物理研究所)

### 一、前 言

震源机制的研究，不仅是地震学上的一个重要問題，而且也是对大地构造学有重要意义的一个問題。

通过某一地区震源机制資料的統計研究，可以了解該地区現代的构造运动特征。知道了这个特征，反过来对了解該地区未来地震的发生情况也是有帮助的。

本文就是根据五十多年来中国境內 48 次大地震的震源机制資料，对中国境內的現代构造运动作了一些初步討論。

震源机制的研究途徑是多方面的。有的根据地震仪器的观测資料来进行研究，有的根据大地震的宏观后果来进行研究，有的則用大地測量和地傾斜的观测来进行研究，有的还用模型實驗来进行研究。本文所采取的途徑主要是根据地震仪器的观测資料，另外还有少量的宏观考察資料。

由于我国以往地震台少，所以我們所用的資料主要是国外台站的記錄，这些記錄大都汇集在英国所出版的“国际地震資料汇編”中。这个汇編从 1933 年起，就开始刊印了世界各地发生大地震时全球台站所記到的 P 波，PP 波和 PKP 波的初动符号。另外，还利用了日本中央气象台的地震年报。对于解放后我国所发生的大地震，我們还曾应用了苏联台站的地震報告和法国所出版的“国际地震中央局”的地震報告。1957 年以后，我国台站不仅在数量上增加了，而且在质量上也提高了，这就使得研究我国近几年来所发生的大震的震源机制情况，有了更充裕和更有效的資料。

在宏观資料方面，我們应用了 6 次大地震的断层資料，其中有 2 次台灣大地震的資料是根据日本人的研究結果。

由于 1949 年到 1960 年間我国 22 个大地震的震源机制資料已經发表<sup>[12]</sup>，所以在本文震源机制資料的附表中将不再列举它們。但是在本文的綜合討論中則包括它們在內。

## 二、震源机制資料与現代构造运动的关系

地震是现代地质构造运动的具体表现，这一点是众所周知的。进一步的问题是地震是多大规模的构造运动所表现出来的呢？关于这个问题，我们认为要看地震的大小而定。本文所讨论的48个大地震，其震级皆在6级和6级以上。对于一个6级地震来说，它所放出的弹性波能量约有 $10^{20}$ — $10^{21}$ 尔格<sup>[13]</sup>，至于震源地方所放出的总能量还比弹性波能量大得多。震源地方放出这样大的能量所相应的震源体积，即岩石发生破坏和发生强烈变形的体积约等于直径为10—20公里的球体<sup>[13]</sup>。若震级为7级，则岩石的破坏体积约等于直径为50公里的球体。若震级为8级，则岩石的破坏体积就更大了，约相当于直径为150公里的球体。既然6级以上的大地震，相应地有如此巨大区域内的岩体变动，所以我们认为6级以上的地震是与较大范围内的构造运动密切相关的。也就是说它与现代构造运动的总形势相关。

根据以上的论点，我们认为：既然大地震是现代地质构造运动的具体表现，且与现代构造运动的总形势有关，那么这种地震的震源机制资料，也就是震源地方断层的空间位状，以及断层盘岩体的运动方向在很大程度上反映了现代大地构造运动体的位状和其运动方向。虽然局部的地质因素也对大地震的震源机制情况有所影响，但是大范围内大量震源机制资料的统计，仍能把现代大地构造运动的总特征表现出来。

## 三、用震源机制资料讨论中国境内现代构造运动的方向

一般最常见的震源力学模型是“单力偶”和“双力偶”。对于这两种力学模型来说，它们发生地震时所形成的断层面位状和断层盘岩体的错动方向都是共同的。而正是这个共同的部分与构造运动的形态直接相关，所以在讨论构造运动的方向时可以不去鉴别震源的力学模型，而只用它们共同部分的结果。事实上，要鉴别震源的力学模型是一件不容易的事。我们还要说明，在我们所处理的48个大地震中，除了少数地震得到震源地方岩体错动方向的肯定解答外，其他大多数的地震由于在决定震源机制时只有纵波初动方向的原始资料，所以各得到两个可能的解答，其中哪一个是真实的尚不能确定。但是尽管如此，它对于回答岩体运动方向是接近于水平还是接近于垂直的问题却是可能的。如果震源地方两个可能的运动方向，其与水平面之间的夹角都小于45度，则认为震源地方真实的岩体运动方向就是偏近于或接近于水平的；如果一个大于45度，另一个小于45度，则问题得不到肯定的结论。

根据上面的分类，我们对中国境内各地震震源地方的岩体错动方向作了统计，其结果是：在48个大地震中，震源地方岩体错动方向偏近于水平方向的有30个，难以肯定的或情况不明的有18个，如表1所示。在这18个地震中，只有9个地震是已知其两个错动方向中有一个的倾角是大于45度的，其余9个是属于情况不明的。表1中所列举的地震，其空间分布如图1所示。在图1中，黑圆点和内有线条的圆圈代表的是岩体错动力方

表 1

地 震 日 期	震 中 位 置		錯動方向的傾角		備 注	震 中 位 置		錯動方向的傾角		備 注
	第 - 解 答	第二解 答	第 - 解 答	第二解 答		震 日 期	地 震 資 料	震 日 期	地 震 方 向	
1906, 3, 17	23.5 N	120.2 E	小于 45	11	單值解答	1955, 6, 5	24.5 N	122.4 E	—	—
1932, 12, 25	39.7 N	96.9 E	20—32	—	宏觀資料	1955, 9, 23	26.0 N	102.1 E	19	—
1927, 5, 22	37.6 N	102.6 E	—	—	—	1957, 1, 3	44.0 N	130.0 E	4	單值解答
1933, 8, 25	32.0 N	103.5 E	—	19	—	1957, 2, 23	24.0 N	121.5 E	15	30
1935, 4, 21	24.5 N	120.8 E	12	—	單值解答	1958, 1, 9	45.0 N	85.0 E	2	34
1936, 4, 26	29.0 N	103.5 E	34?	22?	—	1958, 2, 7	32.0 N	104.0 E	11	68
1936, 5, 16	28.6 N	103.6 E	34	22	—	1958, 5, 30	25.0 N	122.0 E	67	13
1937, 1, 7	35.5 N	97.7 E	24	30	—	1958, 10, 28	30.5 N	85.0 E	36	39
1937, 7, 31	35.2 N	115.3 E	—	—	—	1958, 10, 31	25.0 N	122.5 E	4	34
1937, 8, 1	35.2 N	115.3 E	—	—	—	1958, 11, 31	30.5 N	84.5 E	34	20
1937, 12, 8	22.9 N	121.5 E	26	40	—	1958, 12, 21	45.0 N	81.0 E	28	34
1940, 7, 10	44.9 N	130.4 E	28	32	—	1959, 2, 14	28.0 N	97.0 E	51	14
1946, 1, 11	44.9 N	130.4 E	24	42	—	1959, 4, 26	25.0 N	122.0 E	13	72
1947, 3, 17	33.5 N	99.5 E	0	18	—	1959, 8, 18	22.5 N	122.0 E	30	16
1947, 7, 29	28.8 N	93.7 E	—	12	—	1959, 10, 25	22.0 N	121.5 E	54	33
1949, 2, 23	41.8 N	83.9 E	32	—	—	1959, 11, 15	39.0 N	75.0 E	12	18
1949, 6, 15	33.3 N	100.0 E	30	20	—	1960, 9, 2	28.8 N	97.8 E	71	15
1950, 8, 15	28.4 N	96.6 E	26	10	—	1960, 11, 9	32.8 N	103.8 E	58	30
1951, 12, 21	26.5 N	99.7 E	28	58	—	1961, 6, 4	34.5 N	81.5 E	8	16
1951, 12, 26	38.9 N	95.5 E	15	16	—	1961, 6, 27	28.0 N	99.8 E	34	34
1952, 10, 5	36.5 N	93.3 E	30	6	—	1961, 12, 4	33.0 N	95.0 E	8	32
1954, 2, 11	38.8 N	101.4 E	—	—	—	1962, 3, 18	23.7 N	114.7 E	30	6
1954, 7, 31	38.4 N	104.1 E	14	20	—	1962, 5, 21	37.0 N	96.0 E	69	16
• 1955, 4, 14	30.1 N	101.8 E	8	5	—	1962, 12, 17	38.1 N	106.3 E	40	38
• 1955, 4, 15	40.0 N	74.3 E	40	19	—	1963, 4, 19	35.7 N	96.7 E	0	38

表2 1906年到1963年中国震源机制资料

地震日期	震中位置	断层性质	断层第一解答	断层第二解答	备注
1906, 3, 17	23.5°N 120.2°E 台湾 嘉义	沿走向错动 占优势的 断层	走向: 75—80		1. $M=6.8$ 2. 断层资料是根据日本大森房吉的野外调查 <sup>[1]</sup>
1927, 5, 22	37.6°N 102.6°E 甘肃 古浪		走向: 110—120		1. $M=8$ 2. 断层资料是根据文献[4]，是宏观资料
1932, 12, 25	36.4°N 105.5°E 甘肃 昌马	平推逆断层	走向: 112 倾向: 22 倾角: 79 上盘错动方向 方位: 116—119 倾角: 20—32	走向: 28 倾向: 118 倾角: 58—70 上盘错动方向 方位: 22 倾角: 11	1. $M=7.5$ , $H=35$ 2. 断层资料是根据文献[2] 3. 野外宏观调查所见的裂縫带与第一解答相近 <sup>[3]</sup>
1933, 8, 25	32.0°N 103.5°E 四川 迭溪	正断层但可能有平错分量	走向: 57 倾向: 327 倾角: 71 上盘错动方向 (不明)	走向: 22—143 上盘错动方向 方位: 147 倾角: 19	1. $M=7.3$ 2. 地面上发生三条断层，但方向各不相同 <sup>[6]</sup> 3. 共 14 个初动符号，其中一个符号与解答不符
1935, 4, 21	24.5°N 120.8°E 台湾 新竹	平推-逆断层	走向: 40 倾向: 310 倾角: 60 上盘错动方向 方位: 49 倾角: 12		1. $M=7$ 2. 地面上发生大断层，其走向和错动方向与第一解答基本相符 <sup>[6,7]</sup> 3. 共 30 个初动符号，其中 5 个与解答不符
1936, 4, 26	29.0°N 103.5°E 四川 马边	可能与下震同	可能与下震同	可能与下震同	1. $M=6.8$ 2. 此震只有 4 个初动符号，本不足以划节线，但它与下震发生于同一地区，且 4 个符号的分布适位于下震节线所应有之符号区域，故推测断层诸参数与下震相同
1936, 5, 16	28.6°N 103.6°E 四川 马边	平推-正断层	走向: 28 倾向: 298 倾角: 68 上盘错动方向 方位: 244 倾向: 34	走向: 155 倾向: 65 倾角: 34 上盘错动方向 方位: 118 倾角: 22	1. $M=6.8$ 2. 共 21 个初动符号，其中 3 个与解答不符
1937, 1, 7	35.5°N 97.7°E 青海 阿尼马卿山	平推-正断层	走向: 125 倾向: 35 倾角: 60 上盘错动方向 方位: 319 倾角: 24	走向: 49 倾向: 139 倾角: 66 上盘错动方向 方位: 215 倾角: 30	1. $M=7.5$ 2. 共 28 个初动符号，3 个与解答不符， 3. 野外调查的大断裂与第一解答大致相符 <sup>[8]</sup>

(續表 2)

地震日期	震中位置	断层性质	断层第一解答	断层第二解答	备注
1937, 7, 31	35.2 N 115.3 E 山东 荷澤	可能是平推 占优势的 断层	走向: 47	走向: 137	1. $M = 6.9$ 2. 共 9 个初动符号, 1 个与解答 不符 3. 断层解答的可靠性甚差
1937, 8, 1	35.2 N 115.3 E 山东 荷澤	可能是平推 占优势的 断层	走向: 47	走向: 137	1. $M = 6.8$ 2. 共 7 个初动符号, 若采用上震 之断层解答, 则 6 个符号相符合, 1 个不符合
1937, 12, 8	22.9 N 121.5 E 台灣 台东 东部 海中	平推-逆断 层	走向: 23 倾向: 113 倾角: 50 上盘错动方向 方位: 359 倾角: 26	走向: 89 倾向: 359 倾角: 64 上盘错动方向 方位: 113 倾角: 40	1. $M = 7$ 2. 共 19 个初动符号, 2 个与解 答不符
1940, 7, 10	44.9 N 130.4 E 黑龙江 穆棱	逆-平推断 层	走向: 40 倾向: 310 倾角: 58 上盘错动方向 方位: 199 倾角: 28	走向: 110 倾向: 199 倾角: 62 上盘错动方向 方位: 310 倾角: 32	1. $M = 7.25$ 2. $H = 580$ 公里 3. 共 59 个初动符号, 3 个与解 答不符
1946, 1, 11	44.9 N 130.4 E 黑龙江 穆棱	平推-逆断 层	走向: 27 倾向: 118 倾角: 48 上盘错动方向 方位: 3 倾角: 24	走向: 93 倾向: 3 倾角: 66 上盘错动方向 方位: 118 倾角: 42	1. $M = 7.25$ 2. $H = 580$ 公里 3. 共 36 个初动符号, 全部符合 解答
1947, 3, 17	33.5 N 99.5 E 青海 果洛山	平推占绝对 优势的断 层	走向: 66 倾向: 336 倾角: 72 上盘错动方向 方位: 246 倾角 $\approx 0$	走向: 336 倾向: 不明 倾角 $\approx 90$ 上盘错动方向 方位: 156 倾角: 18	1. $M = 7.5$ 2. 共 13 个初动符号, 全部与解 答相符
1947, 7, 29	28.8 N 93.7 E 西藏 朗县 东南		走向: 96 倾向: 6 倾角: 78	上盘错动方向 方位: 78 倾角: 12	1. $M = 7.7$ 2. 共 16 个初动符号, 全部符合 解答
1949, 6, 15	33.3 N 100.0 E 青海 果洛山	平推-逆断 层	走向: 77 倾向: 347 倾角: 70 上盘错动方向 方位: 246 倾角: 30	走向: 155 倾向: 245 倾角: 60 上盘错动方向 方位: 350 倾角: 20	1. $M = 6.8$ 2. 共 10 个初动符号, 1 个符号 与解答不符

(續表 2)

地震日期	震中位置	断层性质	断层第一解答	断层第二解答	备注
1950, 8, 16	28.7 N 96.5 E 西藏 察隅	可能是平推 占优势的 断层	走向: 近东西 错动方向: 北盘 向西运动, 南 盘向东运动	走向: 近南北 错动方向: 东盘 向南运动, 西 盘向北运动	1. $M = 5.5$ 2. 此震为 1950 年 8 月 15 日大震 的余震 3. 断层解答系根据苏联 C. H. Косенко 的结果 <sup>[9]</sup>
1952, 10, 5	36.4 N 93.3 E 青海 哈雅尔	平推-正断 层	走向: 110 倾向: 20 倾角: 84 上盘错动方向 方位: 106 倾角: 30	走向: 16 倾向: 286 倾角: 60 上盘错动方向 方位: 200 倾角: 6	1. $M = 6$ 2. 共 17 个初动符号与解答全符
1951, 12, 21	26.5 N 99.7 E 云南 剑川	平推-正断 层	走向: 326 倾向: 236 倾角: 32 上盘错动方向 方位: 176 倾角: 28	走向: 86 倾向: 356 倾角: 62 上盘错动方向 方位: 56 倾角: 58	1. $M = 6$ 2. 共 9 个初动符号, 全部符合 3. 第一解答误差较大
1951, 12, 26	38.9 N 95.5 E 甘肃 肃北	平推-正断 层	走向: 68 倾向: 338 倾角: 74 上盘错动方向 方位: 253 倾角: 15	走向: 343 倾向: 73 倾角: 75 上盘错动方向 方位: 158 倾角: 16	1. $M \approx 6$ 2. 共 27 个初动符号, 2 个与解 答不符 3. 此震 A. R. Ritsema 曾研究 过其震源机制情况 <sup>[10]</sup> , 其结 果与本表解答有些差别
1952, 8, 17	30.5 N 91.5 E 西藏 纳木湖	平推-正断 层	走向: 350 倾向: 80 倾角: 76	走向: 近东西	1. $M = 7.25$ 2. 共 30 个初动符号
1957, 1, 3	44.0 N 130.0 E 黑龙江 东宁	平推占绝对 优势的断 层	走向: 112 倾向: 22 倾角: 12 上盘错动方向 方位: 293 倾角: 4		1. $M = 7$ 2. $H = 560$ 公里 3. 共 50 个初动符号, 7 个与解 答不符 4. 根据苏联 E. Ф. Саваренский 等人 <sup>[11]</sup> 的横波资料, 此震的 断层解答是肯定的, 即本表所 列举的解答。此震的力学模 型为“有矩双力型”
1959, 4, 26	25.0 N 122.0 E 台湾 东北角	平推-逆断 层	走向: 75 倾向: 345 倾角: 18 上盘错动方向 方位: 210 倾角: 13	走向: 120 倾向: 210 倾角: 77 上盘错动方向 方位: 345 倾角: 72	1. $M = 7.5$ 2. $H = 150$ 公里 3. 按 A. R. Ritsema <sup>[12]</sup> 的横 波资料, 本表第一解答是真实 的断层面, 且震源是“有矩双 力型”

(續表 2)

地震日期	震中位置	断层性质	断层第一解答	断层第二解答	备注
1961, 6, 4	34.5 N 81.5 E 西藏 塔克納克	平推-逆断层	走向: 76 倾向: 346 倾角: 74 上盘错动方向 方位: 78 倾角: 8	走向: 169 倾向: 79 倾角: 82 上盘错动方向 方位: 346 倾角: 16	1. $M=6.25$ 2. $H=46$ 公里 3. 共 21 个初动符号, 全部符合解答
1961, 6, 27	28.0 N 99.8 E 云南 中甸	平推-逆断层	走向: 60 倾向: 150 倾角: 56 上盘错动方向 方位: 34 倾角: 34	走向: 124 倾向: 34 倾角: 56 上盘错动方向 方位: 150 倾角: 34	1. $M=6.25$ 2. $H=33$ 公里 3. 共 19 个初动符号, 全部符合解答
1961, 12, 4	33.0 N 95.0 E 青海 玉树	平推-正断层	走向: 64 倾向: 154 倾角: 58 上盘错动方向 方位: 64 倾角: 8	走向: 154 倾向: 244 倾角: 82 上盘错动方向 方位: 334 倾角: 32	1. $M=6$ 2. $H=45$ 3. 共 20 个初动符号, 全部符合解答
1962, 8, 18	23.7 N 114.7 E 广东 河源	平推-逆断层	走向: 160 倾向: 250 倾角: 84 上盘错动方向 方位: 156 倾角: 30	走向: 66 倾向: 156 倾角: 60 上盘错动方向 方位: 250 倾角: 6	1. $M=6$ 2. $H=5$ 3. 共 30 个初动符号, 1 个与解答不符合
1962, 5, 21	37.0 N 96.0 E 青海 柴达木	逆断层	走向: 148 倾向: 238 倾角: 69 上盘错动方向 方位: 58 倾角: 69	走向: 148 倾向: 58 倾角: 16 上盘错动方向 方位: 238 倾角: 16	1. $M=6.7$ 2. $H=30$ 公里 3. 共 26 个初动符号
1962, 12, 7	38.1 N 106.3 E 宁夏 吴忠	平推-逆断层	走向: 近南北 倾向: 向东 倾角: 58—60 上盘错动方向 方位: — 倾角: 44—56	走向: 近南北 倾向: 向西 倾角: 34—44 上盘错动方向 方位: 250—270 倾角: 32	1. $M=5.8$ 2. $H=25$ 公里 3. 共 8 个初动符号, 全部与解答相符 4. 此震资料见文献[15]
1962, 12, 17	38.0 N 106.3 E 宁夏 吴忠	平推-逆断层	走向: 137 倾向: 227 倾角: 50 上盘错动方向 方位: 356 倾角: 40	走向: 86 倾向: 356 倾角: 50 上盘错动方向 方位: 223 倾角: 38	1. $M=6$ 2. $H=25$ 公里 3. 共 12 个初动符号, 1 个与解答不符 4. 此震资料见文献[15]

(續表 2)

地震日期	震中位置	断层性质	断层第一解答	断层第二解答	备注
1963, 4, 19	35.7°N 96.7°E 青海 阿兰泉	平推-逆断层	走向: 10 倾向: 100 倾角: 52 上盘错动方向 方位: 188 倾角 $\approx$ 0	走向: 98 倾向: — 倾角 $\approx$ 90 上盘错动方向 方位: 98 倾角: 38	1. $M = 6.7$ 2. 共 36 个初动符号

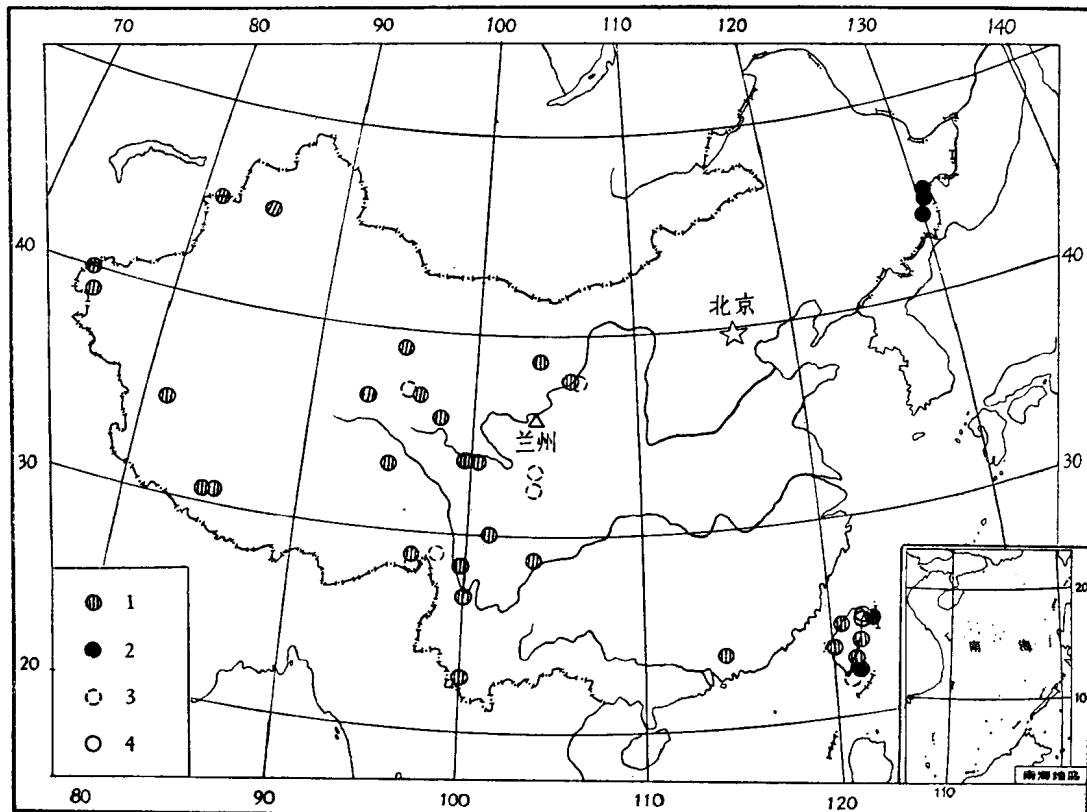


图 1

1 (浅震), 2 (深震)——震源地方岩体错动的两个可能方向, 其倾角皆小于  $45^{\circ}$  者;  
3 (浅震), 4 (深震)——震源地方岩体错动的两个可能方向, 其倾角一个大于  $45^{\circ}$ , 另一个小于  $45^{\circ}$  者。

向偏近于水平方向的, 实线圆和虚线圆代表的是岩体错动方向或接近水平或接近垂直而不能肯定的。无论由表 1 或是图 1 都可以看出, 震源地方岩体错动方向偏近于水平的占绝大多数<sup>1)</sup>。由此, 我们得出这样的初步推断: 即我国境内现代的构造运动在更多的情况下是偏近于水平方向的。但必须指出, 这一推断带有“抽样检查”的性质, 首先是所处理的地震并非布满全国, 其次是五十多年来我国所有大于 6 级的地震并不是都有震源机制资料, 而全被我们考虑了的。因此我们的推断还需进一步用更多的震源机制资料来证实。

<sup>1)</sup> 如果假定震源是一个坐标原点, 并假定由震源向周围  $4\pi$  个方向上各有同等可能性发生岩体的错动, 那么我们可以由纯几何概率证明, 错动方向的倾角小于  $45^{\circ}$  的其出现的可能性比倾角大于  $45^{\circ}$  的要大 2.44 倍。